

**ГИДРАВЛИЧЕСКОЕ СОПРОТИВЛЕНИЕ ПРИ КИПЕНИИ ЭТИЛОВОГО  
СПИРТА, НЕ ДОГРЕТОГО ДО ТЕМПЕРАТУРЫ НАСЫЩЕНИЯ,  
В ОБЛАСТИ БОЛЬШИХ СКОРОСТЕЙ ТЕЧЕНИЯ**

***В. И. Адамовский, С. С. Кутателадзе, Л. С. Штоколов***

*(Новосибирск)*

Приводятся экспериментальные данные о гидравлическом сопротивлении потока ненасыщенной жидкости при кипении на стенке. Опыты охватывают диапазон скоростей от 50 до 210 м/сек.

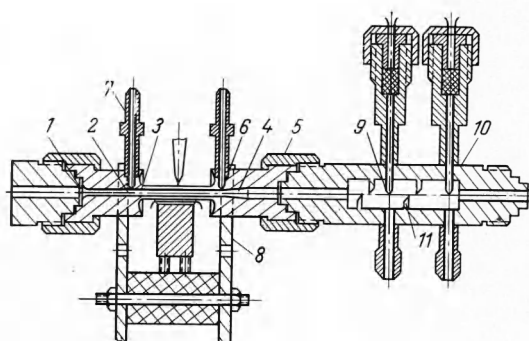
В последнее время опубликованы работы [1-4] по изучению влияния процесса кипения на гидравлическое сопротивление при течении недогретой жидкости до температуры насыщения. Большинство этих исследований проведено с водой при относительно небольших скоростях течения ( $W_g \leq 10^4 \text{ кг}/\text{м}^2\text{сек}$ ).

Ниже излагаются данные о гидравлическом сопротивлении при течении жидкости в трубах в весьма широком диапазоне скоростей и наличии кипения на стенке. В качестве рабочей среды использовался 96 %-ный этиловый спирт ректификат.

Экспериментальная установка была выполнена в виде замкнутого контура высокого давления, состоящего из вспомогательного нагревателя, экспериментального участка, смесителя с термопарами, холодильника, регулировочных вентилей и заправочного резервуара. Циркуляция жидкости в контуре создавалась двумя трехпливункерными насосами высокого давления, соединенными последовательно с вспомогательным центробежным насосом.

Экспериментальные участки изготавливались из нержавеющей стали 1Х18Н9Т и легированной меди двух диаметров 2 и 3 мм длиной  $l=15 D$ . Чистота гладких труб была 8-го — 9-го класса, щероховатые трубы имели  $D / \Delta$  от 3000 до 12 000, что соответствовало  $\Delta$  от 0.1 до 0.6 мк.

На фиг. 1 представлена схема экспериментального участка, состоящего из конфузора 1,



Фиг. 1

участка гидродинамической стабилизации 2, обогреваемого участка 3 и диффузора 4. Входная и выходная части экспериментального участка были изготовлены в виде массивных утолщений с накидными гайками 5, которыми участок присоединялся к контуру. Для измерения давления и гидравлического сопротивления в каждой из утолщенных частей экспериментального участка имелось по два радиальных отверстия 6 диаметром 0,4 мм, просверленных на расстоянии 0,5 мм от входа и выхода из обогреваемой части. Снаружи, в местах выхода отверстий, к участку были приварены штуцеры 7, к которым присоединялись импульсные трубы манометров. Наличие конфузора и диффузора на входе и выходе обеспечивало безотрывное течение жидкости в экспериментальном участке.

Из-за больших скоростей течения полное давление перед экспериментальным участком иногда превышало 300 бар, тогда как измеряемое статическое давление в самом участке менялось лишь в пределах 20—50 бар. В указанных условиях даже относительно небольшое влияние скоростного напора на величину измеряемого статического давления могло бы привести к значительной ошибке в определении гидравлического сопротивления и приведенного недогрева жидкости до температуры насыщения. Поэтому при изготовлении экспериментального участка было обращено особое внимание на качество обработки внутренних поверхностей, особенно в местах, где производилось измерение давлений. Для устранения заусенцев на внутренней стенке радиальные отверстия 6 сверлились до чистовой обработки экспериментального участка. Внутренние отверстия обогреваемого участка 3 обрабатывались с точностью 0,005 мм. Наличие в одном и том же сечении двух отверстий для отбора давлений, каждое из которых соединялось с отдельным манометром, позволяло при сопоставлении показаний двух манометров судить о качестве отбора давления. Участки считались пригодными для работы, если показания манометров полностью совпадали.

Экспериментальный участок обогревался переменным током низкого напряжения, подводимого к медным токоподводам 8 от понижающего трансформатора ОСУ-80. Регулировка тепловой нагрузки на участке производилась регулировочным трансформатором РОТ-25.

Во время опытов определялись тепловая нагрузка, гидравлическое сопротивление, давление, расход и температура жидкости на выходе из экспериментального участка.

Тепловая нагрузка определялась по мощности электрического тока, подводимого к экспериментальному участку, измеряемого астатическим ваттметром класса точности 0,2.

Давление и гидравлическое сопротивление экспериментального участка измерялись образцовыми манометрами класса точности 0,4, которые для повышения точности перед началом опытов градуировались на рабочее давление грузовым манометром МП-60 класса точности 0,05.

Расход жидкости, протекающей через экспериментальный участок, определялся по перепаду давления в дроссельном вентиле, измеряемому ртутным дифманометром. Перед проведением опытов вентиль открывался таким образом, чтобы обеспечить оптимальную для данных измерений разность уровней ртути. Затем при помощи мерного резервуара, трехходового крана и электросекундомера производилась градуировка дифманометра. После каждого опыта проводились контрольные градуировки. Опыты считались полноценными, если при повторных градуировках цена деления шкалы дифманометра изменялась не более чем на 1%. Температура жидкости измерялась на выходе из экспериментального участка тремя хромель-алюминевыми термопарами 9 (фиг. 1), горячие спаи которых находились в потоке жидкости внутри смесителя 10. Э.д.с. термопар определялась полуавтоматическим потенциометром типа Р 2/1. Смеситель служил для получения равномерного температурного поля по сечению потока и представлял собой полый стальной цилиндр с поперечными полукруглыми перегородками 11, обеспечивающими перемешивание жидкости. Последовательное расположение термопар в промежутках между перегородками позволяло по совпадению результатов измерений температуры в разных сечениях судить о качестве перемешивания жидкости в смесителе.

Опыты проводились при давлениях 20, 30, 40, 50 бар; весовых скоростях  $1.75 \cdot 10^4$ ,  $4 \cdot 10^4$ ,  $5.3 \cdot 10^4$ ,  $5.8 \cdot 10^4$ ,  $7 \cdot 10^4$ ,  $8 \cdot 10^4$ ,  $13.5 \cdot 10^4$  кг/м<sup>2</sup> сек и недогревах до температуры насыщения от 10 до 190° К. Указанные параметры соответствовали значениям чисел Рейнольдса от  $2 \cdot 10^4$  до  $2 \cdot 10^6$ .

Часть исследований проводилась на экспериментальном участке из стали 1Х18Н9Т, внутренняя поверхность которого была обработана разверткой. Результаты экспериментов, проведенных на указанном участке при изотермическом течении жидкости в числах Рейнольдса  $R$  до  $2 \cdot 10^6$ , согласуются с данными Никурадзе для гладких труб.

Для изучения влияния шероховатости внутренние поверхности двух экспериментальных участков из нержавеющей стали были обработаны абразивными порошками с различными размерами зерен. Результаты измерений сопротивления указанных участков в изотермических условиях показали, что при числах  $R > 3.2 \cdot 10^5$  для одного из них и  $R > 5.7 \cdot 10^5$  для другого течение происходило так же, как в шероховатых трубах с однородной шероховатостью. Высота бугорков на внутренней поверхности соответствовала 0.25 и 0.6 мк.

Кроме того, использовались участки  $D = 1.5$  и 2 мм из легированной меди с шероховатостью поверхности от 0.2 до 0.6 мк.

Опыты при неизотермических условиях проводились отдельными сериями, в которых давление и весовая скорость оставались неизменными. Переменными параметрами в каждой серии были либо недогрев, либо тепловая нагрузка. Значения последней изменялись от 0 до величины критического теплового потока. Результаты опытов были обработаны в виде зависимости приведенного коэффициента гидравлического сопротивления  $\xi^0$  от приведенного теплового потока  $q^0$  и безразмерного недогрева жидкости до температуры насыщения  $K_*$ . Приведенный коэффициент гидравлического сопротивления  $\xi^0$  равен отношению коэффициента гидравлического сопротивления для неизотермического течения  $\xi$  к соответствующему коэффициенту гидравлического сопротивления в изотермических условиях  $\xi_0$ .

Как показано в [5], зависимость критического теплового потока от недогрева жидкости при вынужденном движении может быть обобщена, если за приведенный параметр, определяющий влияние недогрева на критический тепловой поток, принять безразмерный комплекс

$$K_* = (i' - i) r^{-1} \sqrt{\rho / \rho''}$$

В [6] установлено существование при больших скоростях течения непосредственной связи между значениями критических тепловых потоков и величиной касательных напряжений на стенке. В связи с этим, по аналогии с кризисом кипения при вынужденном движении, в данной работе комплекс  $K_*$  использован в качестве обобщенного параметра, определяющего влияние недогрева на  $\xi^0$ .

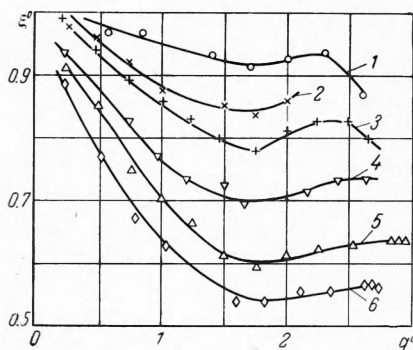
Влияние тепловой нагрузки на  $\xi^0$  при кипении оценивалось значениями приведенных тепловых потоков  $q_0$ , равных отношениям потоков тепла на экспериментальном

участке  $q$  к тепловым потокам  $q_0$ , соответствовавшим началу кипения жидкости на греющей стенке, вычисленными по формуле для конвективного теплообмена без кипения

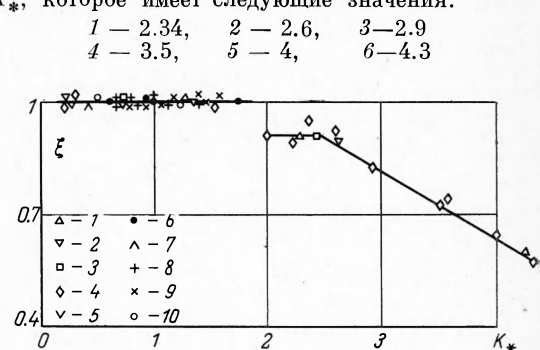
$$q_0 = 0.023 \frac{\lambda}{D} R^{0.8} P^{0.4} \left( \frac{\mu'}{\mu} \right)^{0.14} (T' - T)$$

Первоначальная обработка полученных экспериментальных данных проводилась в виде зависимостей  $\xi^0$  от  $q^0$ , построенных отдельно для каждой весовой скорости и давления.

На фиг. 2 представлено одно из семейств кривых, соответствующих давлению 30 бар и весовой скорости  $W_g = 5.8 \cdot 10^4 \text{ кг}/\text{м}^2\text{сек}$ , в которых параметром является  $K_*$ , которое имеет следующие значения:



Фиг. 2



Фиг. 3

С увеличением  $q^0$  от 0 до 1 наблюдается значительное снижение  $\xi^0$ . В области  $q^0 > 1$  зависимости  $\xi^0$  от  $q^0$  последовательно проходят через минимум и максимум. Максимумы кривых соответствуют предкризисному состоянию. При весовых скоростях  $W_g \geq 4 \cdot 10^4 \text{ кг}/\text{м}^2\text{сек}$  и величинах  $1 < q^0$  относительное изменение значений  $\xi^0$  между максимумом и минимумом каждой кривой не превышает 10%.

На фиг. 3 представлена зависимость  $\xi^0 (K_*)$  в момент, предшествующий кризису кипения, т. е. максимумам кривых  $\xi^0 (q^0)$ . Ниже (см. табл.) приводим значения  $p$ ,  $W_g$  и  $D / \Delta$  для фиг. 3.

Гладкие трубы			Шероховатые трубы			
точки	$p$ , бар	$W_g$ , $\text{кг}/\text{м}^2\text{сек}$	точки	$p$ , бар	$W_g$ , $\text{кг}/\text{м}^2\text{сек}$	$D/\Delta$
1	20	$4 \cdot 10^4$	6	30	$5.3 \cdot 10^4$	5000
2	30	$4 \cdot 10^4$	7	50	$8 \cdot 10^4$	3000
3	30	$5 \cdot 10^4$	8	30	$8 \cdot 10^4$	3000
4	30	$5 \cdot 10^4$	9	20	$8 \cdot 10^4$	3000
5	40	$7 \cdot 10^4$	10	30	$13.5 \cdot 10^4$	5000

По характеру зависимости  $\xi^0$  от  $K_*$  закономерности изменения  $\xi^0$  от  $q^0$  можно разделить на три области: (1)  $K_* < 0.2$ , (2)  $0.2 < K_* < 2$ , (3)  $K_* > 2$ .

В настоящей работе рассматриваются только две последние области. Область значений  $K_* < 0.2$ , где вследствие малых недогревов происходит запаривание потока, требует дальнейшего изучения.

Из графика фиг. 3 видно, что перед кризисом кипения в области  $0.2 < K_* < 2$  значения  $\xi^0$  постоянны, равны  $\approx 1$  и не зависят от тепловой нагрузки, недогрева, шероховатости стенки, давления и скорости. При  $K_* > 2$  величина  $\xi^0$  уменьшается до 0.9 и остается постоянной в интервале  $2 < K_* < 2.5$ .

С увеличением недогрева в области  $K_* > 2.5$  происходит дальнейшее уменьшение  $\xi^0$ . При  $W_g$  от  $4 \cdot 10^4$  до  $6 \cdot 10^4 \text{ кг}/\text{м}^2\text{сек}$  и  $K_* > 2.5$  все экспериментальные точки, независимо от тепловых потоков, давлений и весовых скоростей, лежат около одной прямой линии, которая может быть аппроксимирована формулой

$$\xi^0 = 1.36 - 0.18 K_*$$

Сопоставление расчетных и экспериментальных величин показало, что снижение значений  $\xi^0$  в области  $K_* > 2$  не могло произойти только за счет неизотермичности

течения. Кроме того, расчетные кривые зависимости  $\xi^0$  от  $K_*$  для неизотермического течения жидкости без кипения в области больших недогревов должны были бы заметно расслойться по давлениям и весовым скоростям, чего не видно на фиг. 3. Поэтому можно полагать, что снижение значений  $\xi^0$  при  $K_* > 2$  вызвано главным образом специфическим для значительных недогревов влиянием процесса кипения на гидравлическое сопротивление в области больших скоростей.

В работе [6] показано, что область недогревов  $K_* < 2$  характерна для возникновения нормальных кризисов кипения при вынужденном движении жидкости. В области  $K_* > 2$  имеют место распространенные кризисы кипения, которые существенно отличаются от нормальных, как по внешним признакам, так и по характеру зависимости критического теплового потока от недогрева. Наличие общей границы при переходе от нормальных к распространенным кризисам и из области значений  $\xi^0 \approx 1$  к области сниженных  $\xi^0$  указывает на существование более глубоких, чем было известно до сих пор, связей кризисов кипения с гидродинамическими явлениями в потоке жидкости, которые в данном случае проявлялись при переходе в область распространенных кризисов кипения.

Поступила 12 X 1966

#### ЛИТЕРАТУРА

1. Sieberski R., Mulligan H. Friction and Heat — Exchange Relation ship in Bubble Boiling, Jet Propuls, 1953, vol. 25, No 1.
2. Полетавкин П. Г. Гидравлическое сопротивление при поверхностном кипении воды. Теплоэнергетика, 1959, № 12.
3. Орнатский А. П. Обобщение опытных данных по гидравлическому сопротивлению при поверхностном кипении. ПМТФ, 1965, № 3.
4. Стюшина, Н. Г. Рябинин Г. А. К методике расчета гидравлического сопротивления в парогенерирующих трубках при малых значениях удельного теплового потока. Инж.-физ. ж., 1965, т. 9, № 6.
5. Штоколов Л. С. Обобщение экспериментальных данных о распространенном кризисе теплообмена при кипении жидкости. ПМТФ, 1966, № 1.
6. Кутателадзе С. С. и др. Тепломассообмен и трение в турбулентном пограничном слое, СО АН СССР, 1964.

#### О ТЕМПЕРАТУРНОЙ ЗАВИСИМОСТИ СКОРОСТИ ЗВУКА В НАСЫЩЕННЫХ ПАРАХ И ЖИДКОЙ ФАЗЕ ВБЛИЗИ КРИТИЧЕСКОЙ ТОЧКИ

*И. С. Радовский*

(Москва)

При экспериментальном исследовании скорости звука в области критической точки в ряде работ [1, 2] наблюдалось пересечение кривых температурной зависимости скорости звука в насыщенных парах и жидкой фазе, т. е. в некотором температурном интервале (от 0.3 до 0.5° К) вблизи критической точки величина скорости звука в жидкой фазе оказывалась меньшей, чем в насыщенном паре. Этому, на первый взгляд, аномальному явлению достаточно обоснованного объяснения не давалось, а в некоторых работах, например в [3], утверждалось, что пересечение кривых в действительности не может иметь места и обусловлено лишь недостаточной точностью экспериментов. Однако, анализ экспериментальных данных [2] показывает, что разница в величинах скорости звука в насыщенном паре и жидкой фазе вблизи критической точки существенно превышает возможную погрешность экспериментов.

Полученный в работе [4] вывод, что кривые температурной зависимости скорости звука в насыщенных парах и жидкой фазе могут для одних веществ пересекаться лишь в одной точке — критической, а для других — в двух точках, нельзя признать вполне обоснованным, так как он базируется на недостаточно корректном предположении о разложимости термодинамических функций в ряд Тейлора вблизи критической точки. Критическое состояние — в известном смысле особое, поэтому к такому предположению следует относиться весьма осторожно [5].

Ниже приводится анализ температурной зависимости скорости звука в области критической точки, основанный не на разложении в ряд, а на применении обычного математического аппарата термодинамики.

Воспользовавшись уравнением Лапласа для скорости звука

$$a^2 = -v^2 \left( \frac{\partial p}{\partial v} \right)_s \quad (1)$$